

## *K P A T K I E C O O B I C H E N I J A*

### **ТЕЛЕВИЗИОННЫЙ МНОГОКАНАЛЬНЫЙ СПЕКТРОФОТОМЕТР 6-МЕТРОВОГО ТЕЛЕСКОПА АН СССР**

*И. И. Балега, Р. Г. Верещагина, С. В. Маркелов,  
В. Б. Небелицкий, Н. Н. Сомов, Т. А. Сомова,  
О. И. Спиридонова, А. Ф. Фоменко, Л. П. Фоменко,  
Г. С. Чепурных*

Описана установка, предназначенная для регистрации и накопления спектров слабых астрономических объектов. В системе использован принцип счета фотоэлектронных событий ЭОП УМ-92 одновременно в 1000 каналах с помощью высокочувствительной передающей телевизионной трубы суперкремникон. Спектрофотометр работает на линии с ЭВМ «Электроника-100И», которая осуществляет управление системой, сбор данных и их первичную обработку. Возможна визуализация информации в реальном времени на экране дисплея. Приведен ряд измерительных характеристик системы и спектр галактики Сейферта NGC 3516, полученный с помощью телевизионного многоканального спектрофотометра на БТА.

A device intended for registering and storing of spectra of faint astronomical counting photoelectronic events with the image tube UM-92 simultaneously in 1000 channels with the help of a supersilicon transmitting television tube is used in the system. The spectrometer is on-line with the computer «Electronika-100 I» which performs control of the system, collection of data and their preliminary processing. Display visualization of information in the real time is possible. There presented a number of measurement characteristic of the system and also the spectrum of the system galaxy NGC 3516 obtained with the help of the multichannel spectrophotometer at BTA.

Необходимость в фотоэлектронных детекторах, которые позволяют регистрировать спектры по многим каналам одновременно, диктуется рядом задач современной астрофизики. Условия, накладываемые на идеальный астрономический детектор, можно сформулировать так [1]:

- 1) каждый фотон должен регистрироваться с равным весом и без шума;
- 2) емкость накопления информации бесконечна;
- 3) вся пространственная информация, содержащаяся в изображении, должна сохраняться.

Приборов, имеющих такие свойства, не существует. Однако существуют в настоящее время ЭОП, способные регистрировать отдельные фотоэлектронные события. Тогда система, состоящая из такого ЭОП, оптически соединенного с непрерывно сканирующей телевизионной трубкой, будет работать как многоканальный счетчик фотонов, имеющий свойства, сравнимые с большим числом ФЭУ. Интегрирование изображения может производиться цифровым методом в ЭВМ. Специально для регистрации предельно слабых световых потоков в последние годы был создан ряд многоканальных систем счета фотонов, которые успешно работают в различных обсерваториях мира [2—3]. Фундаментальным ограничением таких систем является квантовая природа самого излучения.

Ниже описан телевизионный многоканальный спектрофотометр (ТМС БТА), созданный в Специальной астрофизической обсерватории АН СССР.

**Описание системы.** Телевизионный многоканальный спектрофотометр предназначен для регистрации и накопления спектров астрономических объектов, получаемых на 6-метровом телескопе АН СССР (БТА) как

в счете фотонов, так и в аналоговом режиме. На рис. 1 представлена блок-схема системы. В спектрофотометре усилителем светового потока перед телевизионной трубкой является ЭОП УМ-92. Изображение с люминесцентного экрана ЭОП переносится на фотокатод телевизионной трубки с помощью объектива «Аврора». Телевизионная установка спектрофотометра служит для визуализации изображений спектров, получаемых на выходном люминофоре ЭОП, а также для преобразования изображений в электрический сигнал для последующей цифровой обработки. В качестве телевизи-

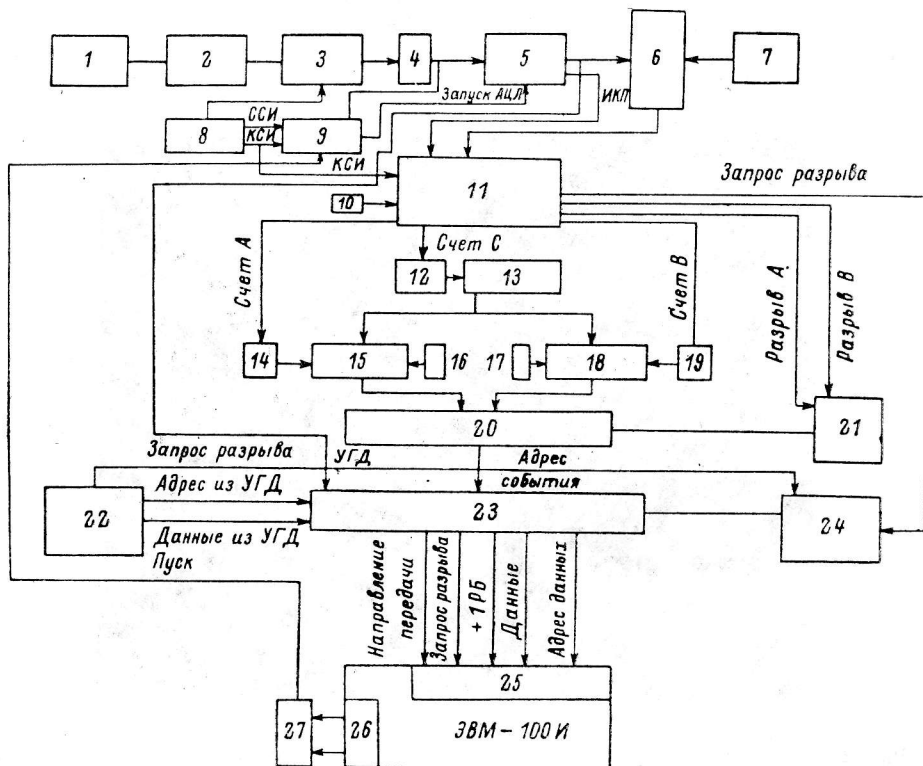


Рис. 1. Структурная схема телевизионного многоканального спектрофотометра.

1 — ЭОП; 2 — перебрасывающая оптика; 3 — суперкремникон; 4 — видеоусилитель; 5 — аналого-цифровой преобразователь; 6 — схема сравнения; 7 — регистр множителя — частного; 8 — оптический многоканальный анализатор; 9 — устройство стробирования; 10 — счетчик тактов; 11 — блок синхронизации и управления; 12 — дополнительный разряд регистра текущей строки; 13 — регистр текущей строки; 14 — дополнительный разряд регистра первой линейки; 15 — регистр первой линейки; 16 — индексный регистр первой линейки; 17 — индексный регистр второй линейки; 18 — регистр второй линейки; 19 — дополнительный разряд второй линейки; 20 — мультиплексор 1; 21 — управление мультиплексором 1; 22 — дисплей УГД 43-1; 23 — мультиплексор 2; 24 — управление мультиплексором 2; 25 — канал разрыва данных; 26 — программируемый канал; 27 — интерфейс программируемого канала.

онного светоприемника в системе используется высокочувствительная передающая трубка суперкремникон с диагональю изображения на фотокатоде 16 мм. Телевизионная трубка в системе работает как пространственный регистратор и как однокадровый буфер, который на мишени запоминает все вспышки, пришедшие с ЭОП за кадр. Для юстировки телевизионной трубки используется подвижка, обеспечивающая выставление фотокатода по спектру и фокусировку спектра на телевизионной трубке. Сформированный видеосигнал подается в видеоконтрольное устройство ВК-12 и блок стробирующего накопителя. Стробирующий накопитель представляет собой буферное устройство между видеоусилителем и аналого-цифровым преобразователем (АЦП) и выполняет следующие функции: 1) выделяет на каждой строке телевизионного раstra два участка (две

линейки) с регулируемой задержкой относительно начала строки от 0 до 64 мк/сек. и регулируемой шириной строба от 0.5 до 6 мк/сек.; 2) интегрирует видеосигнал на выделенных стробом участках строки. Управляющей электронной вычислительной машиной в системе является мини-ЭВМ «Электроника-400И». Общая емкость памяти ЭВМ — 16К. Узлом отображения накапливаемой информации в спектрофотометре служит устройство отображения графической и буквенно-цифровой информации (УГД43-1), которое выполняет диалог с ЭВМ.

Спектр исследуемого объекта, полученный с помощью дифракционного спектрографа УАГС (Цейсс, ГДР), установленного в кабине прямого фокуса телескопа БТА, проектируется на фотокатод УМ-92 так, чтобы в направлении дисперсии он был перпендикулярен к строкам развертки



Рис. 2. Фотография с экрана ВК-12 фотоэлектронных событий (экспозиция 1 сек.).

телевизионной трубки. Режим считывания: 30 кадров в секунду, число строк разложения 512. После стробирующего накопителя видеосигнал подается на АЦП, разработанный ИАЭ СО АН СССР [4]. Время одного измерения 400 нсек., погрешность измерения 1%, число разрядов АЦП — 8, амплитуда видеосигнала, подаваемого на АЦП — 0—5 в. С АЦП сигнал поступает в сигнальный процессор, который может работать в трех режимах: аналого-цифровом, счете фотонов 1 и счете фотонов 2.

Временная диаграмма измерения спектра в аналоговом режиме описана в [5]. Код с АЦП поступает по каналу прямого доступа в память ЭВМ. При этом сигнальный процессор формирует адрес того участка памяти, куда необходимо записать информацию. Обслуживающая программа из поступающих данных формирует массив индикации для дисплея.

В режиме счета фотонов 1 система работает в счете фотонов по 500 каналам, т. е. по одной линейке. На рис. 2 представлено изображение с ВК-12 фотоэлектронных вспышек и шумов ЭОП на экране видеоконтрольного устройства. На рис. 3 изображены амплитуды фотоэлектронных вспышек на экране дисплея, а рис. 4 объясняет принцип выделения фотоэлектронных событий сигнальным процессором. После индивидуальной электронной обработки фотоэлектронные вспышки регистрируются с равным весом независимо от их амплитуды, детектируются только центры событий, кроме того, шум усилителя дискриминируется. Таким образом, в этом

режиме накопление спектра идет в счете фотонов по 500 каналам, а результат накопления в реальном времени наблюдается на экране дисплея.

При регистрации слабых объектов появляется необходимость тщательного учета фона неба. При этом спектр необходимо регистрировать одновременно с фоном неба. Это условие потребовало организации счета по двум линейкам. Индивидуальная электронная обработка фотоэлектронных вспышек аналогична режиму счета фотонов 1, только организуется по двум линейкам. Результат измерения двух спектров в реальном времени визуализируется на экране дисплея. По времени эффективность системы в этом режиме удваивается, чем экономится телескопное время. Это особенно важно при больших экспозициях, которые необходимы для регистрации предельно слабых объектов.

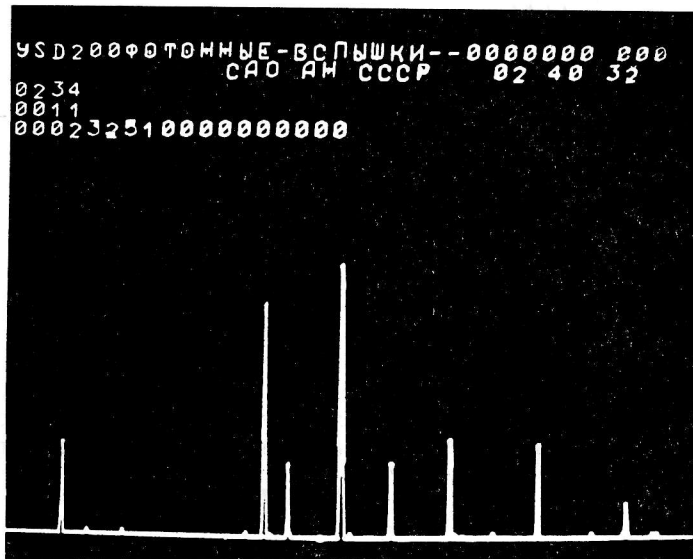


Рис. 3. Фотография фотоэлектронных вспышек с экрана дисплея.

По горизонтальной оси — номер канала от 0 до 499, по вертикальной оси — амплитуда фотоэлектронных вспышек.

**Характеристики системы.** Линейность. Для проверки линейности отклика системы на величину освещенности фотокатода ЭОП была снята зависимость, представленная на рис. 5. Значения освещенности задавались изменением ширины входной щели  $S$  спектрографа. По оси ординат отложена скорость счета  $N$  в отдельном канале. На графике указаны границы доверительных интервалов с уровнем значимости  $\varepsilon=0.05$  и доверительной вероятностью  $p=0.95$ .

Зависимость скорости счета от уровня дискриминации. Эта зависимость приведена на рис. 6. По оси абсцисс отложен уровень дискриминации, а по оси ординат количество отсчетов за кадр, т. е. сумма отсчетов по 500 каналам. Из рисунка видно, что имеется плато в интегральном распределении и провал в дифференциальном распределении, так что все фотоэлектронные события могут быть удовлетворительно детектированы и обработаны в памяти ЭВМ. Быстрый подъем в интегральном распределении слева от положения счетного плато и соответствующий подъем в дифференциальном распределении обусловлены шумом предусилителя и остаточными сигналами от событий, не полностью считанных в предыдущем кадре. Соответствующей установкой нижнего уровня дискриминации шумы устраняются.

**Разрешение.** Частотно-контрастная характеристика телевизионного спектрофотометра измерена методом функции рассеяния [6, 7]. На рис. 7 эта характеристика представлена для двух режимов счета: счета фотонов и аналогового режима, а для сравнения приведены эти же характе-

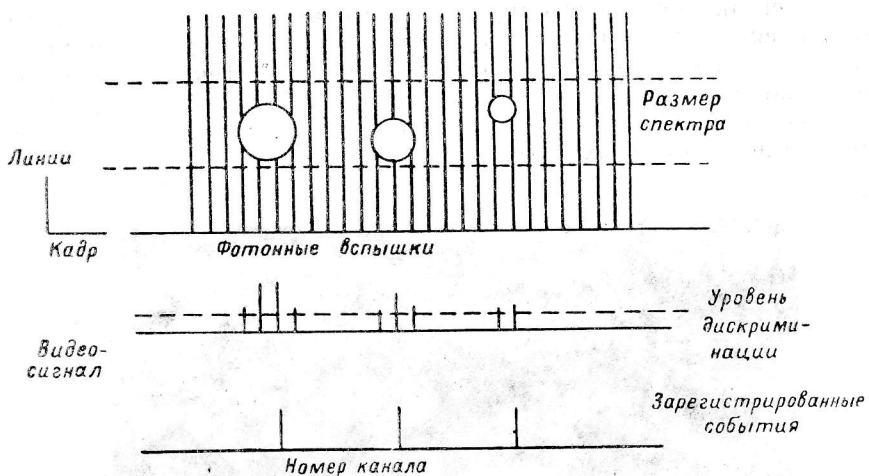


Рис. 4. Принцип выделения фотоэлектронных событий сигнальным процессором.

ристики для системы счета фотонов Бокснеберга [2]. Из этих данных следует, что разрешение в аналоговом режиме гораздо ниже, чем в счете фотонов. Лучшее разрешение в системах счета фотонов достигается за счет определения координат центров фотоэлектронных событий цифровым способом.

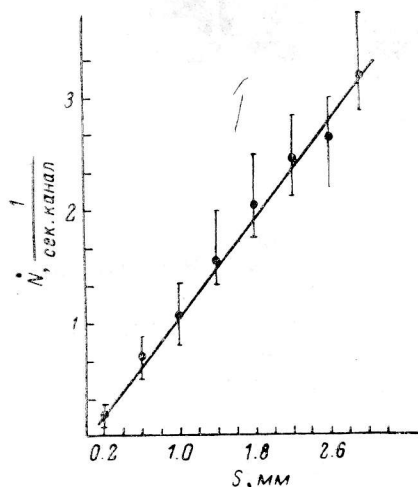


Рис. 5. График линейности системы.  
Напряжение на ЭОП 27 кв.

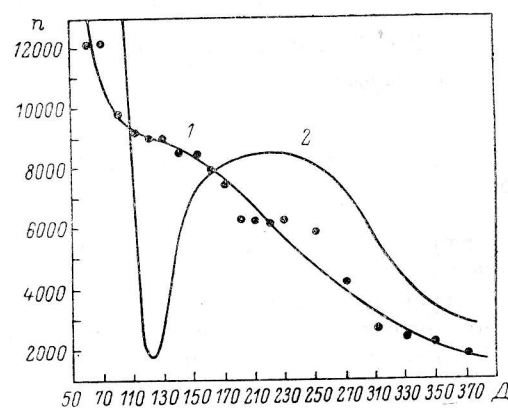


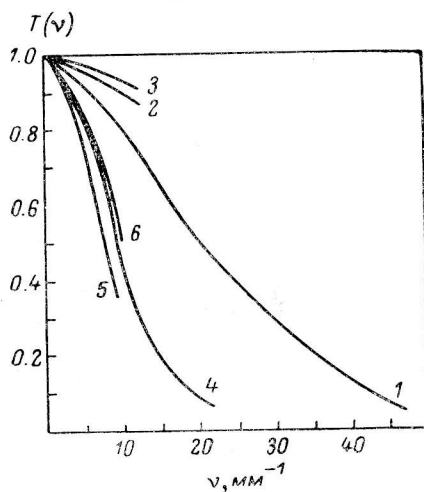
Рис. 6. Интегральное (1) и дифференциальное (2) распределение амплитуд фотоэлектронных событий. Напряжение на ЭОП 33 кв.

**Программное обеспечение эксперимента.** Для управления работой системы и обслуживания дисплея в память ЭВМ вводится программный диспетчер, которая позволяет экспериментатору управлять и контролировать процесс накопления информации. С помощью функциональной клавиатуры дисплея наблюдатель задает старт, задержку, время интегрирования,

стоп. Экспериментатор может использовать кнопку «задержка», чтобы временно прекратить набор информации в случае, если условия наблюдений ухудшаются или проверяется состояние установки, и в случае необходимости может продолжить через некоторое время интегрирование для получения нужной статистики. С пульта дисплея задается режим измерения: счет фотонов 1, счет фотонов 2, аналоговый. После нажатия клавиши «старт» начинаются измерения и одновременно запускается таймер. Время экспозиции высвечивается на экране дисплея. Кроме того, во время наблюдений для каждого объекта делаются служебные надписи: название объекта, дата, угол решетки, ширина щели и т. д., которые после прекращения накопления спектра выводятся вместе с информацией на

Рис. 7. Частотно-контрастная характеристика.

1 — ЧКХ ТМС в режиме счета фотонов; 2 — ЧКХ системы Бокснеберга в счете фотонов (увеличение 0.59); 3 — то же (увеличение 1.7); 4 — ЧКХ ТМС БТА в аналоговом режиме; 5 — ЧКХ системы Бокснеберга в аналоговом режиме (увеличение 0.59); 6 — то же (увеличение 1.7).



перфоленту. По программе предусмотрен просмотр содержимого любого канала накапливаемых спектров. Для этого маркер (самая яркая точка на изображении, которая с помощью функциональной клавиатуры с тремя скоростями может перемещаться по спектру) наводится на интересующий нас канал. В результате на экране дисплея высвечивается номер канала и его содержимое, т. е. интенсивность. Если в машину завести длины волн спектра сравнения (с пульта дисплея), то по программе построения дисперсионной кривой после нажатия клавиши «вычисление» кроме номера канала и интенсивности высвечивается длина волны интересующей нас детали. С накапливаемыми спектрами возможно оперативно осуществлять ряд операций: изменение масштаба по  $x$  и  $y$ , вычитание спектра неба из спектра объект + небо и просмотр результата вычитания на дисплее, вывод информации со служебными метками на перфоратор и т. д.

**Заключение.** Рабочие характеристики многоканального телевизионного спектрофотометра по звездам были получены в главном фокусе 6-метрового телескопа с использованием универсального астрономического спектрографа УАГС. В первую очередь была определена нижняя граница звездных величин, с которой спектрофотометр мог быть использован для получения спектров звезд в диапазоне линейности (рис. 6). Было установлено, что при диаметре изображения  $\sim 3-4''$ , дисперсии  $\sim 100 \text{ \AA/mm}$  и полном провале звезды в щель спектрографа без заметного отклонения от линейности можно регистрировать спектры звезд не ярче  $14-14.5^m$ . Как правило, в этих условиях спектр неба на фоновой линейке спектрофотометра проявлялся через несколько десятков секунд. Стабильность системы в целом при работе на телескопе оказалась хорошей, нами не были зарегистрированы смещения линий опорного спектра неона более чем на канал за

1977	Количество экспериментов	Время накопления, мин.	Спектральный диапазон, $\text{\AA}$	Размер элемента разрешения, $\text{\AA}$
27—28.3	1	10	5800—7000	4
13—14.3	1	10	4700—6000	4

несколько часов работы. Однако весьма существенным оказалось влияние магнитного поля земли, из-за которого при изменении азимута на  $90^\circ$  линии неона сдвигались на 8 каналов. Было выяснено, что причиной этого является отсутствие в нашей системе магнитного экрана в области электростатической секции переноса суперкремникона.

В качестве примера на рис. 8. приведен спектр галактики Сейфера NGC 3516. Условия наблюдения содержатся в таблице.

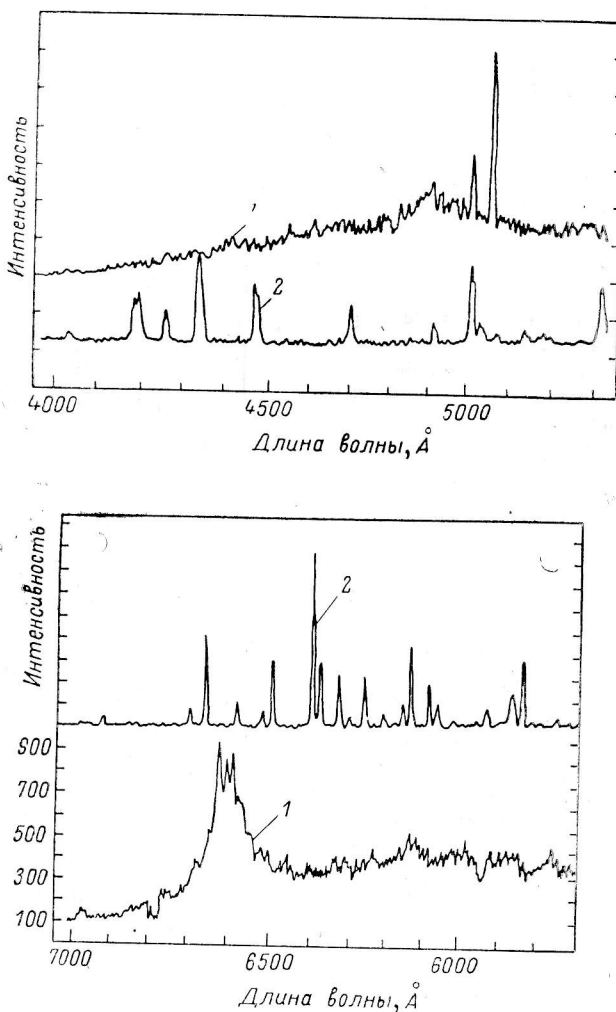


Рис. 8. Фотографии с экрана дисплея.

1 — спектр галактики NGC 3516; 2 — спектр сравнения (Ne, Ar, He).

Для выбранной дисперсии  $100 \text{ \AA/mm}$  цена отдельного канала составляет  $2.5 \text{ \AA}/\text{канал}$ , однако спектральное разрешение хуже и обусловлено аппаратной функцией спектрографа при выбранной ширине щели  $0.08 \text{ mm}$  и  $0.1 \text{ mm}$ . Статистика в спектре такова, что в сильных линиях фотометрическая точность около 3 %. Представленный на рис. 8 спектр сфотографирован с экрана дисплея непосредственно после завершения накопления, т. е. он не подвергнут никакой обработке. В настоящее время завершается работа по составлению программ для исправления на звездный стандарт и учета неоднородности чувствительности в каналах.

Первый опыт работы с телевизионным спектрофотометром по звездам показал, что предельная проникающая способность ограничивается не

его собственными шумами, а фоном неба и диаметром изображения звезд. При средних изображениях звезд 3'', дисперсии 100 Å/мм и удовлетворительной прозрачности за 20—30 мин. оказалось возможным уверенно регистрировать спектры φSO до 19<sup>m</sup>, когда спектральные потоки от объекта и неба в каналах примерно были одинаковы.

#### Список литературы

1. B o o k s e n b e r g A. — In: Astronomical use of television-type image sensors. Washington, 1971, p. 77.
2. B o o k s e n b e r g A., B u r g e s s D. E. — In: Astronomical observations with television-type sensors. Vancouver, 1973, p. 21.
3. R o b i n s o n L. B., W a m p l e g E. J. — In: Astronomical observations with television-type sensors. Vancouver, 1973, p. 69.
4. А л е к с е е в В. А., Б е л о м е с т н ы х В. Н., В ъ ю х и н В. Н., П р о к о п е н к о В. И., К а с п е р о в и ч А. Н., Л и т в и н о в Н. В. и д р. Быстро-действующая система ввода в ЭВМ одномерных оптических изображений. — Автометрия, 1974, 3, с. 22.
5. С о м о в Н. Н., С о м о в а Т. А. Цифровая регистрация ТВ изображений. — Техника кино и телевидения, 1976, № 11, с. 71.
6. L o g g e J e a n J. Enhancement of spectra by digital convolution. — Astron. J., 1973, 78, p. 67.
7. Б а г л а й Р. Д., И с к о л ь д с к и й А. М., К у д р я ш о в М. И., Н е с т е р и х и и Ю. Е. Электронно-оптический регистратор «Спектр» как элемент системы автоматизации спектральных исследований. — Автометрия, 1971, 6, с. 24.